

KAWASAKI STEEL GIHO

Vol.13 (1981) No.1

---

Development of Heavy-Wall Forged Node for Use in Large Offshore Structure

(Hiroshi Mori)

(Isao Kondo)

(Kenji Miyaki)

(Hiroshi Yukitomo)

(Kazuo Aso)

(Koushi Fujii)

---

:

Node

Node

48" 1219.2mm

4" 101.6mm

220" 5588.0mm

(1)

(2)

(3)

---

スチール  
・重板鋼の生産  
じかけの開発

Development of Heavy-Wall Forged Node for Use in Large Offshore Structure

森 裕\* 近藤 功\*\*  
Hiroshi Mori Iساو Kondo

宮木健之\*\*\* 行友浩\*\*\*\*  
Kenji Miyaki Hiroshi Yukitomo

朝生一夫\*\*\*\*\* 藤井浩史\*\*\*\*\*  
Kazuo Aso Koushi Fujii

Synopsis:

With offshore structures designed larger and larger in size, the reliability of their structural members, particularly nodes, occupies on increased significance. A new manufacturing process for heavy-wall nodes was developed involving hollow-ingot making, forging, normalizing/tempering, and final machining. Tests were conducted using full-size models measuring 48 inches (1219.2 mm) in outside diameter, 4 inches (101.6 mm) in wall thickness, and 220 inches (5588.0 mm) in length. A comparison of new heavy-wall forged pipe with its counterparts produced by the conventional methods shows that the newly processed forged pipe has the following

① Excellent low-temperature bending resistance and uniform tensile impact and

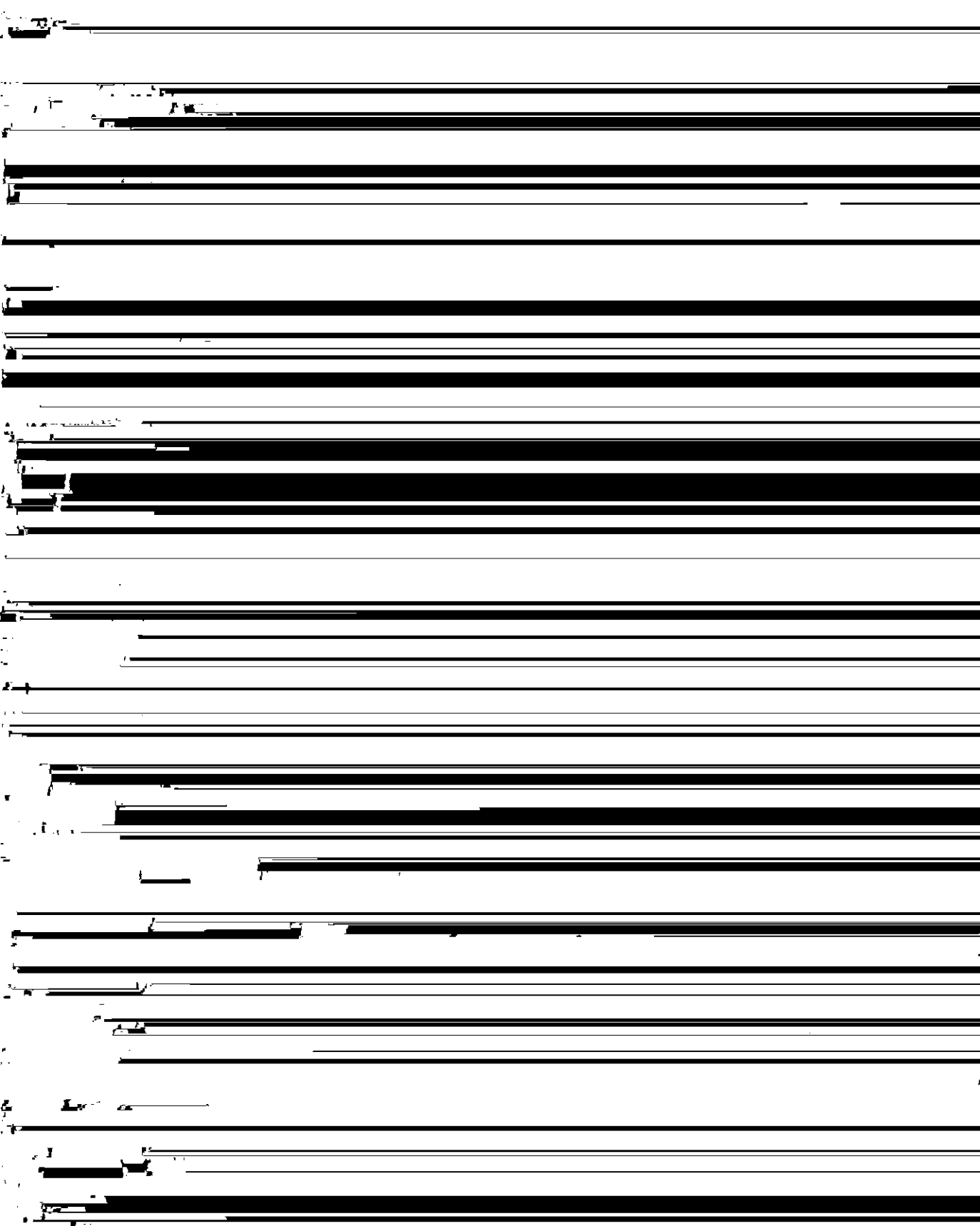
えるに至っている。

このようなジャケットの巨大化によって必然的に  
構造部材が増加する傾向がある。

成分、機械的性質の規定を各々 Table 1, 2 に示す

Table 1 Chemical composition of nodular iron

Cooling rate : 15~80°C/min 700



(Dimensions : mm)

 $\phi 1219.2 \times t 101.6$ 

厚とした。製造工程の概要を Fig. 6 に示す。製鋼条件は取鋼分析値と合わせて Table 4 に示す。中

 $\phi 660.4 \times t 50.8$ 

の各段階で、溶接部の溶接性を評価するための溶接試験が実施された。

Table 4 Chemical composition by heat analysis and steelmaking conditions

	C	Ni	Mn	P	S	V	Al	Si	Cr	Mo	W	V	T
--	---	----	----	---	---	---	----	----	----	----	---	---	---



Fig. 8 に示す。C の最大偏析率 [ $(C_{\max} - C_0)/C_0 \times 100$ ,  $C_0$  取鍋分析値] は、14% であり 30t 鋼塊としては非常に小さい値である。これは中空鋼塊を使用したため同一サイズの中実鋼塊と比較する

び適量の AlN 析出の効果が顕著であったと推定さ

接割れ試験 ( $t = 50\text{mm}$ ) におけるルート割れ阻止

顕微鏡組織およびオーステナイト結晶粒度組織の一例を Photo. 3 に示すが、非常に微細な組織であり衝撃および落重試験向上に寄与している。

このように各特性とも均一でかつ方向差が小さいのは、前述の中空鋼塊の清浄性および偏析の小さいことに加えて、鍛造工程を通過することにより方向性が減少したと考えられる。

### 4・3 溶接性試験

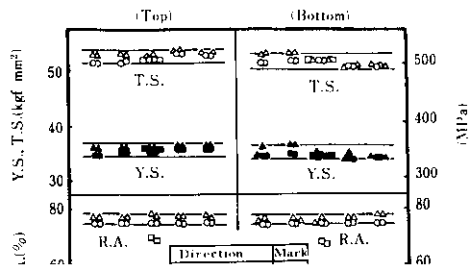
#### 4・3・1 基礎試験

低温割れ感受性を調査するために溶接熱影響部

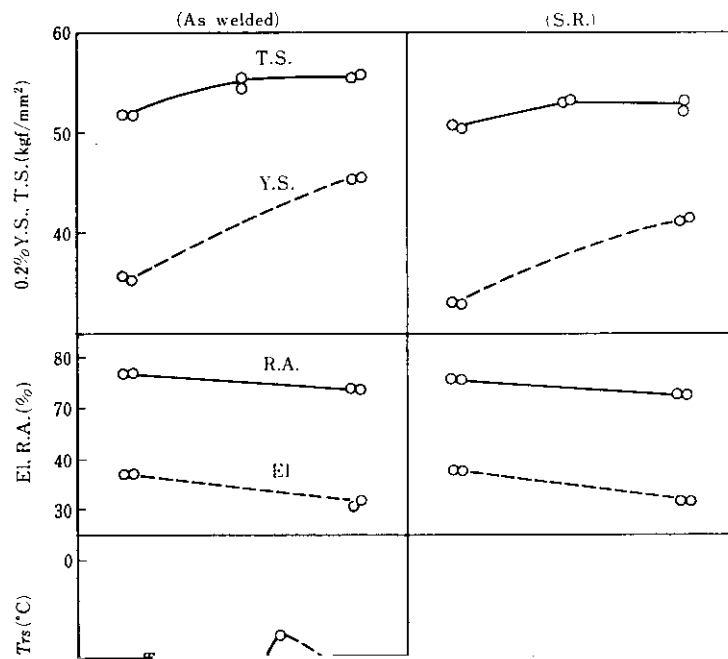
125°C 以上の予熱により実施した。

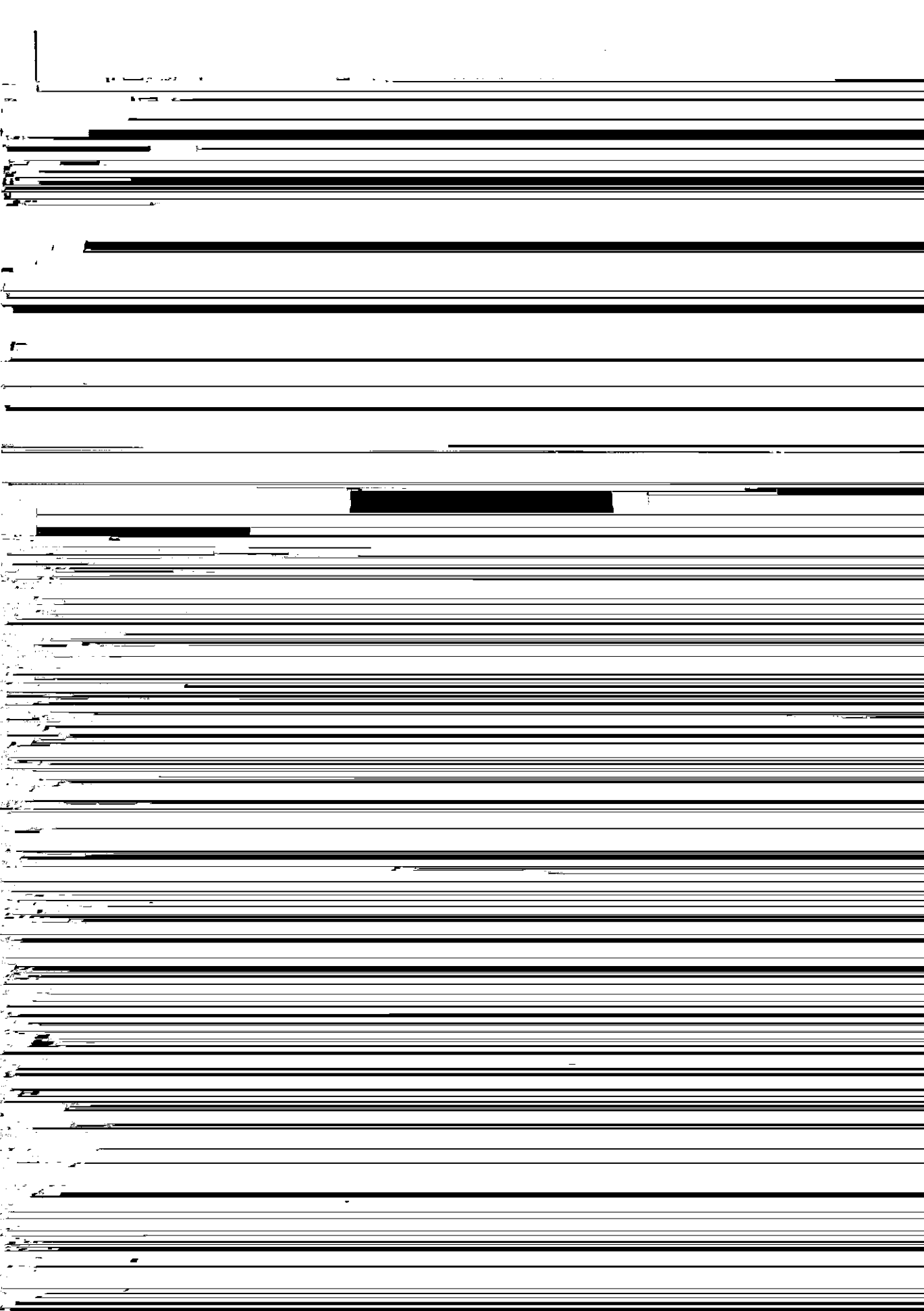
#### 4・3・2 溶接継手性能試験

被覆アーク溶接継手 ( $t = 50\text{mm}$ ) を Table 7 に



示す溶接条件にて製作したノード材の外観





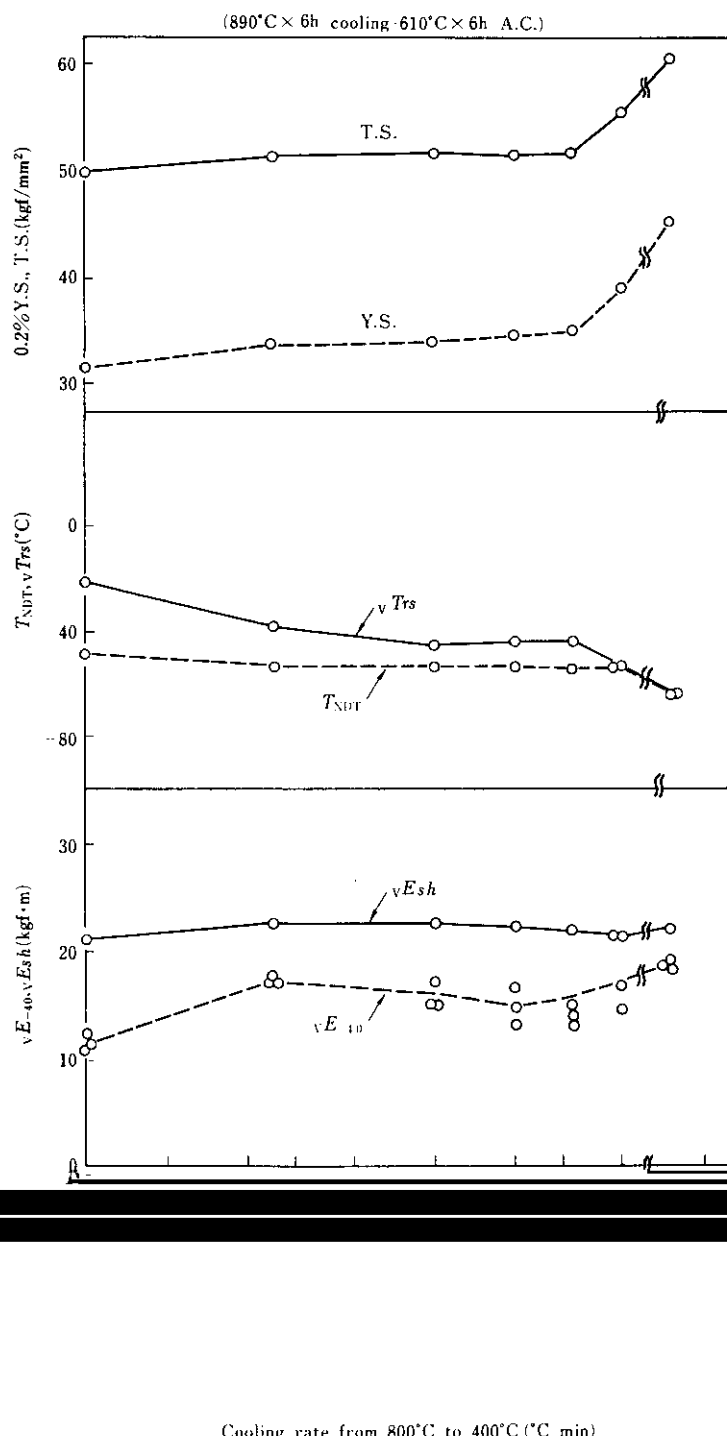


Fig. 12 Variation in mechanical properties by the change of cooling rate from 800°C to 400°C (T direction)

をうることができた。これは中空鋼塊の優れた清

する。また中空鋼塊-鍛造プロセスの採用により、



- 7) 山浦、飯田、松野、山本、朝生：日本金属学会会報，19（1980）5，372  
8) 佐藤、松居、榎並、朝生、谷、小林：川崎製鉄技報，12（1980）1，101

- 10) 小林、成本、船越、平井：川崎製鉄技報，8（1976）3，336